

## بررسی شکل‌پذیری قاب‌های فولادی مهاربندی شده ضربدری واقع در دو دهانه میانی مجاور هم\*

ابذر اصغری<sup>(۱)</sup>

**چکیده** در این تحقیق برای ارزیابی شکل‌پذیری قاب‌های ساختمانی ساده توأم با مهاربند‌های ضربدری واقع در دو دهانه میانی مجاور هم، ۱۶ قاب ساختمانی ساده توأم با مهاربند‌های هم‌گرای معمولی و ۱۶ قاب ساختمانی ساده توأم با مهاربند‌های هم‌گرای ویژه مورد مطالعه قرار گرفته است. در قاب‌های مهاربندی شده ضربدری معمولی، با وجود آن‌که در اکثر قاب‌ها، سازه تغییرمکان هدف را تجربه نماید، لیکن به دلیل بالاتر بودن سطح نیروهای طراحی این نوع قاب‌ها، شکل‌پذیری مورد نیاز تأمین می‌شود. نتایج به دست آمده از این تحقیق نشان می‌دهد که ضربی رفتار پیشنهاد شده در ویرایش چهارم استاندارد ۲۸۰۰ ایران ( $R=5/5$ ) برای مهاربند‌های ضربدری ویژه منطقی‌تر از ضربی رفتار پیش‌بینی شده در آئینه نامه ASCE 7 ( $R=6$ ) است. بر اساس نتایج این تحقیق، ضربی رفتار قاب‌های مهاربندی شده ضربدری ویژه و دارای زمان تناوب محاسباتی بیش از یک ثانیه (حدوداً بالای ۱۰ طبقه)، برابر ۵ پیشنهاد می‌شود.

**واژه‌های کلیدی** ضربی کاهش شکل‌پذیری؛ مهاربند‌های هم‌گرا؛ تحلیل بارافزون؛ تغییرمکان هدف؛ ضربی رفتار.

## Ductility Evaluation of X-Braced Steel Frames which are Braced in Two Adjacent Middle Bays

A. Asghari

**Abstract** In this study, for evaluating ductility of ordinary concentrically braced frames (OCBFs) and special concentrically braced frames (SCBFs) which are X-braced in two adjacent middle spans, 16 steel ordinary concentrically braced frames and 16 special concentrically braced frames are studied. The results confirm that, although most of ordinary concentrically braced frames, which are X-braced, cannot experience the corresponding target displacement, but because of their high designing force level expected ductility can be obtained. Also results confirm that the response modification factor of SCBFs which is proposed by Iranian seismic design code (2800 standard forth edition),  $R=5.5$ , is more logical than ASCE's one,  $R=6$ . According to the results, the response modification factor of 5 is proposed for special concentrically braced frames, which have an analytical period of more than one second (frames more than 10 stories).

**Keywords** Ductility Reduction Factor; Concentrically Braced Frame; Pushover Analysis; Target Displacement

---

\* تاریخ دریافت مقاله ۹۴/۷/۲۹ و تاریخ پذیرش آن ۹۴/۱۲/۲۱ می‌باشد.

(۱) نویسنده مسئول، استادیار، دانشکده مهندسی عمران، دانشگاه صنعتی ارومیه.

با ضریب کاهش شکل پذیری مورد نیاز مقایسه گردد و در پایان به این سؤال پاسخ داده شود که آیا این نوع قاب‌های ساختمانی شکل پذیری مورد نیاز را تأمین می‌کنند یا نه، و برای بهبود رفتار این گونه سیستم‌های سازه‌ای چه راهکارهایی باید اندیشیده شود.

### قاب‌های مهاربندی شده همگرا

قاب‌های ساختمانی ساده توأم با با مهاربندهای همگرا یکی از قدیمی ترین سیستم‌های سازه‌ای به شمار می‌رود که از گذشته نسبتاً دور مورد توجه مهندسان طراح قرار گرفته است. یکی از نگرانی‌های اصلی در این گونه سیستم‌های سازه‌ای کمانش اعضای مهاربندی در هنگام زلزله و در نتیجه کاهش شکل پذیری این گونه سیستم‌های سازه‌ای می‌باشد [3, 4]. در سال‌های اخیر برای جلوگیری از کمانش اعضای مهاربندی و نیز افزایش شکل پذیری این گونه سیستم‌های سازه‌ای مطالعات گسترده‌ای صورت گرفته است. یانگ و ناکاشیما [5] در مطالعات خود نشان دادند که استفاده از مهاربندهای همگرای کمانش ناپذیر می‌تواند رفتار چرخه‌ای این گونه سیستم‌های سازه‌ای را بهبود بخشد و در نتیجه شکل پذیری آنها را افزایش دهد. مفید و لطف‌الهی [6] نیز در مطالعات خود نشان دادند که استفاده از مهاربندهای زانویی در صورتی که طراحی آنها به گونه‌ای باشد که عضو زانویی در برش تسیلم شود، می‌تواند از کمانش مهاربندها جلوگیری نماید و باعث استهلاک انرژی ناشی از زلزله گردد. بلندر و هیانگ [7] در مطالعات خود دریافتند که ضریب اضافه مقاومت و ضریب کاهش شکل پذیری مهاربندهای همگرای X شکل با ضریب اضافه مقاومت و ضریب کاهش شکل پذیری مهاربندهای همگرای شورن به شکل V معکوس، تقریباً یکسان است. آنها هم‌چنین مشاهده نمودند که ضریب کاهش شکل پذیری قاب‌های مهاربندی شده همگرا (ضریبداری و شورن) با افزایش تعداد طبقات کاهش می‌یابد. این محققان هم‌چنین

### مقدمه

به‌طور کلی باور عمومی طراحان ساختمان‌ها و آئین‌نامه‌نویسان برای تأمین اهداف مورد نظر در برابر زلزله‌های شدید آن است که، اگر طراحی به‌گونه‌ای باشد که در هنگام وقوع زلزله شدید، رفتار سازه در محدوده الاستیک نگه داشته شود، طرح حاصل به یک طرح غیراقتصادی متبهمی می‌شود. بهمین دلیل در اکثر آئین‌نامه‌های زلزله، در زلزله‌های شدید وارد رفتار سیستم‌های سازه‌ای به مرحله غیرالاستیک امری منطقی و ضروری فرض شده است و متخصصان معتقدند که، یک سازه ساختمانی، در صورتی که قادر باشد در اثر تکان‌های شدید در محدوده غیرالاستیک تغییر مکان دهد، می‌تواند مقدار زیادی انرژی ناشی از زلزله را مستهلك کند و اهداف مورد نظر را تأمین نماید.

راه حل عمومی برای ارزیابی رفتار غیرالاستیک سیستم‌های سازه‌ای، تحلیل دینامیکی غیرخطی آنهاست [1]. ولی از آنجا که این گونه تحلیل‌ها نسبتاً پیچیده، زمان‌گیر و مستلزم صرف هزینه‌های نسبتاً زیادی است و تفسیر نتایج به دست آمده از این گونه تحلیل‌ها مستلزم داشتن تخصص کافی می‌باشد، لذا در اکثر آئین‌نامه‌های طراحی منظر کردن رفتار غیرالاستیک در تحلیل‌های الاستیک از طریق معرفی یک ضریب کاهنده ( $R/I$ ) در تعیین مقدار نیروی زلزله صورت می‌گیرد [2]. معايب تحلیل الاستیک براساس نیروی کاهش یافته با ضریب  $I/R$  در آن است که، اولاً تخمین مقاومت واقعی سازه و مقایسه  $R$  واقعی طرح با  $R$  پیشنهاد شده در آئین‌نامه، برای طراح امکان‌پذیر نیست؛ ثانیاً مقادیر دقیق تغییر مکان‌های غیرالاستیک را نمی‌توان از تحلیل الاستیک تعیین نمود.

در تحقیق حاضر تلاش شده است ابتدا با استفاده از تحلیل استاتیکی غیرخطی ضریب کاهش شکل پذیری قاب‌های ساختمانی ساده توأم با مهاربندهای ضریبداری و واقع در دهانه میانی مجاور هم مورد ارزیابی قرار گردد، سپس مقدار ضریب کاهش شکل پذیری به دست آمده از تحلیل استاتیکی غیرخطی

مهاربندی شده همگرای ضربدری معمولی رعایت ضابطه تکمیلی خاصی الزامی نیست. لیکن در قاب‌های مهاربندی شده همگرای ضربدری ویژه، مطابق بند (۱۰-۳-۱۱-۲) مبحث دهم مقررات ملی ساختمان ویرایش سال ۱۳۹۲، مقاومت‌های طراحی تیرها و ستون‌ها نباید از نیروهای ناشی از تحلیل‌های زیر کوچک‌تر در نظر گرفته شوند.

(الف) تحلیلی که در آن نیروی مهاربندی‌های کششی برابر  $R_y A_g$  و نیروی مهاربندی‌های فشاری برابر  $R_y F_y A_g$  فرض می‌شود. (ب) تحلیلی که در آن نیروی مهاربندی‌های کششی برابر  $R_y A_g$  و نیروی مهاربندی‌های فشاری  $R_y F_y A_g$  فرض می‌شود. که در آن  $R_y F_y A_g$  نیروی مورد انتظار مهاربندی‌های کششی؛  $1/14 F_{cre} A_g$  نیروی مورد انتظار مهاربندی‌های فشاری؛  $A_g$  سطح مقطع کلی عضو مهاربندی؛  $F_y$  تنش تسلیم تعیین شده فولاد؛  $R_y$  نسبت تنش تسلیم مورد انتظار فولاد به حداقل تنش تسلیم تعیین شده، به‌منظور در نظر گرفتن افزایش مقاومت مورد نیاز؛  $F_{cre}$  تنش فشاری مورد انتظار ناشی از کمانش، که در محاسبه آن به‌جای  $F_y$  از  $F_{yH}$  استفاده می‌شود؛  $F_y$  تنش تسلیم مورد انتظار فولاد و برابر  $R_y F_y$ .

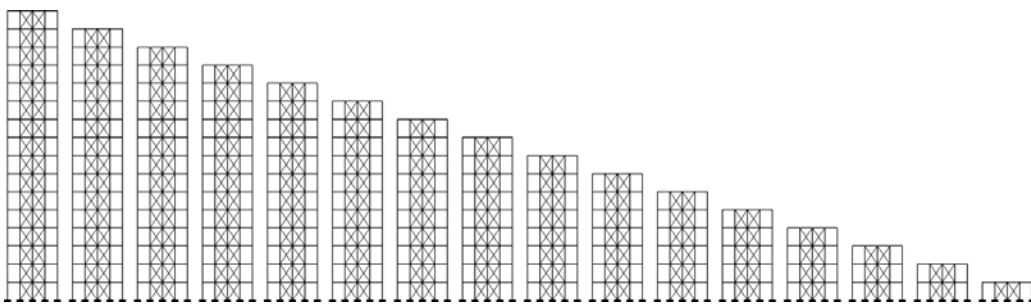
**معرفی قاب‌های مورد مطالعه در این تحقیق**  
در این تحقیق برای ارزیابی ضرب کاهش شکل‌پذیری قاب‌های ساختمانی ساده توأم با مهاربندی‌های ضربدری فولادی و واقع در دهانه میانی مجاور هم، از ۱۶ قاب ساختمانی یک تا ۱۶ طبقه استفاده شده است (شکل ۱). فرضیات به‌کار رفته در تحلیل و طراحی این قاب‌ها عبارتند از:

- تعداد دهانه قاب‌ها ۴، طول دهانه‌ها برابر ۵ متر، ارتفاع طبقات برابر  $3/4$  متر و بار مرده و زنده وارد بر تیرها به ترتیب برابر  $2/8$  و  $6/0$  تن بر متر طول در نظر گرفته شده است.

نشان دادند که، برای قاب‌های مهاربندی شده ۶ و ۱۰ طبقه، ضرب کاهش شکل‌پذیری عموماً بین  $3/5$  تا  $8/5$  تغییر می‌کند. جینکو کیم و هینهون چوی [8] نیز در مطالعات خود نشان دادند که ضرب اصلاح پاسخ قاب‌های مهاربندی شده شورن اکثراً کوچک‌تر از مقدار پیش‌بینی شده در کدهای طراحی است. ماهری و اکبری [9] نیز در مطالعات خود نشان دادند که، با اضافه کردن دهانه‌های مهاربندی به قاب‌های خمسی بتنه، ضرب کاهش شکل‌پذیری آنها به‌طور چشمگیر افزایش می‌یابد. محمودی و زارعی [10] نشان دادند که ضرب کاهش شکل‌پذیری مهاربندی‌های کمانش‌ناپذیر (BRBF) بیش از مهاربندی‌های همگرا (CBF) است. هم‌چنین آنها دریافتند که تعداد دهانه‌های مهاربندی و نیز ارتفاع ساختمان تأثیر مستقیمی بر روی ضرب کاهش شکل‌پذیری دارند. عسگریان و شکرگزار [11] ضرب کاهش شکل‌پذیری قاب‌های مهاربندی شده با مهاربندی‌های همگرا را با استفاده از روش‌های تحلیل بارافزون و تحلیل دینامیکی تاریخچه زمانی مورد بررسی قرار دادند و نشان دادند که نتایج روش‌های تحلیل بارافزون و تحلیل دینامیکی تاریخچه زمانی انطباق نزدیکی با یکدیگر دارند.

#### متناسب با نتایج به‌دست آمده از مطالعات

صورت گرفته بر روی این‌گونه سیستم‌های سازه‌ای و نیز مشاهدات صورت گرفته از مکانیزم‌های خرابی آنها چه در آزمایشگاه‌ها و چه در اثر زلزله‌های صورت گرفته، آئین‌نامه‌ها نیز تلاش نموده‌اند تا حدودی ضعف‌های این‌گونه سیستم‌های سازه‌ای را پوشش دهند. به‌همین منظور ویرایش چهارم مبحث دهم مقررات ملی ساختمان و نیز آئین‌نامه AISC341-10 ضمن معرفی قاب‌های مهاربندی شده همگرای معمولی و ویژه، برای هر کدام از آنها الزامات خاصی ارائه نموده‌اند [12,13]. مطابق این آئین‌نامه‌ها برای طراحی لرزه‌ای اعضای تیرها، ستون‌ها و مهاربندها در قاب‌های



شکل ۱ قاب‌های مهاربندی شده ضربدری از یک تا ۱۶ طبقه و واقع در دو دهانه میانی مجاور هم

بارهای تقلیل ضربیدار مورد تحلیل و طراحی مجدد قرار گرفته‌اند [12].

در شکل (۲) برش پایه، زمان تناوب اصلی، تغییر مکان جانبی حداکثر و وزن اسکلت قاب‌های مهاربندی شده همگرا در دو حالت معمولی و ویژه نمایش داده شده است. همان‌گونه که از نمودارهای شکل (۲) پیداست، در قاب‌های ساختمانی ساده توأم با مهاربندهای همگرای معمولی برش پایه حدوداً به نسبت  $5/5$  به  $3/5$  یعنی حدوداً  $1/6$  برابر برش پایه در قاب‌های ساختمانی ساده توأم با مهاربندهای همگرای ویژه است. اما این به این معنا نیست که وزن اسکلت و تغییر مکان جانبی حداکثر نیز حدوداً به همین میزان با هم اختلاف خواهد داشت. زیرا در قاب‌های ساختمانی ساده توأم با مهاربندهای ویژه رعایت الزامات تکمیلی لرزه‌ای معادل افزایش هدفدار برش پایه است. هم‌چنین، تأمین الزامات لرزه‌ای در قاب‌های ساختمانی ساده توأم با مهاربندهای همگرای ویژه موجب نشده است که وزن اسکلت و تغییر مکان جانبی حداکثر حداکثر از وزن اسکلت و تغییر مکان جانبی حداکثر قاب‌های ساختمانی ساده توأم با مهاربندهای همگرای معمولی فراتر رود. به عبارت دیگر، می‌توان گفت که در قاب‌های ساختمانی ساده توأم با مهاربندهای همگرای ویژه وزن اسکلت و تغییر مکان جانبی حداکثر عموماً کوچک‌تر از وزن اسکلت و تغییر مکان جانبی حداکثر قاب‌های ساختمانی ساده توأم با مهاربندهای

- بارگذاری زلزله مطابق استاندارد ۲۸۰۰ ایران (ویرایش چهارم) صورت گرفته است [2].

- فرض شده است این قاب‌ها جزء سیستم بارگیر جانبی یک ساختمان سه‌بعدی است و وزن مؤثر لرزه‌ای آنها ۴ برابر وزن بارهای مرده و زنده وارد بر آنها است.

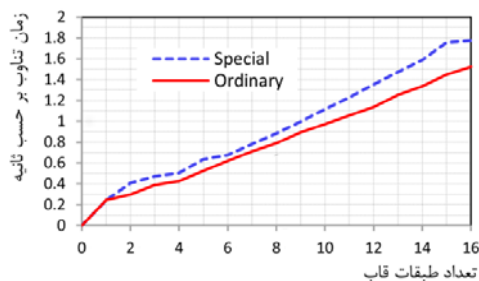
- تحلیل و طراحی قاب‌ها به کمک نرم‌افزار ETABS ورژن 9.7.3 و براساس مبحث دهم مقررات ملی ساختمان ویرایش ۱۳۹۲ و بهروش ضرایب بار و مقاومت (LRFD) صورت گرفته است [12,15].

مطلوب ارائه شده در بخش ۲، برای تحلیل و طراحی لرزه‌ای ۱۶ قاب ساختمانی ساده توأم با مهاربندهای همگرای معمولی رعایت ضابطه تکمیلی خاصی الزامی نیست و این ۱۶ قاب براساس ضربی رفتار  $3/5$  طوری طراحی شده‌اند که نسبت مقاومت مورد نیاز به مقاومت طراحی در کلیه اعضا مساوی و یا کوچک‌تر از یک باشد. رعایت ضابطه تکمیلی ارائه شده در بخش ۲ برای ۱۶ قاب ساختمانی ساده توأم با مهاربندهای همگرای ویژه بدین طریق صورت گرفته است که پس از آن‌که سازه براساس آئین‌نامه‌های بارگذاری زلزله با ضربی رفتار  $5/5$  و آئین‌نامه‌های طراحی، طراحی گردیدند، ابتدا مهاربندها از مدل حذف گردیده و برای جلوگیری از ناپایداری سیستم کف‌های سازه در برابر حرکت جانبی مقید گردیده‌اند. سپس با اعمال نیروهای لرزه‌ای ارائه شده در راستای امتداد مهاربندهای کششی و فشاری، قاب‌ها در حضور

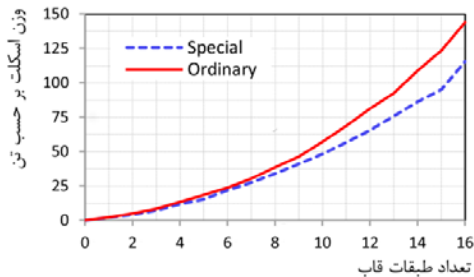
با مهاربندهای همگرای ویژه همواره کمتر از تغییر مکان جانبی حداکثر قاب‌های ساختمانی ساده توأم با مهاربندهای همگرای معمولی است و دلیل آن تأثیر گذاری بیشتر افزایش برش پایه در قاب‌های ساختمانی ساده توأم با مهاربندهای همگرای معمولی نسبت به قاب‌های ساختمانی ساده توأم با مهاربندهای همگرای ویژه است.

بعد از ارزیابی برخی از پاسخ‌های الاستیک، اکنون نوبت به پاسخ به این پرسش رسیده است که، کدامیک از سیستم‌های سازه‌ای قاب ساختمانی ساده توأم با مهاربندهای همگرای معمولی و ویژه، شکل‌پذیری پیشنهاد شده در آئین نامه‌های طراحی را بهتر تأمین می‌کنند. در بخش‌های بعدی این تحقیق به این موضوع پرداخته خواهد شد.

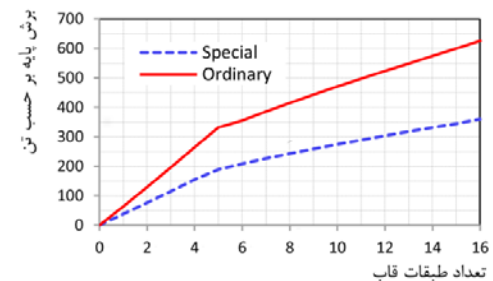
همگرای معمولی است. مطابق نمودار شکل (۲-۲) میزان صرفه‌جویی مصالح در قاب‌های ساختمانی ساده توأم با مهاربندهای ویژه نسبت به مهاربندهای همگرای معمولی حدوداً ۱۵٪ الی ۲۵٪ درصد است. نکته دیگری که از نمودارهای شکل (۲-۲) مشاهده می‌شود این است که زمان تناوب اصلی (زمان تناوب مود اول) قاب‌های مهاربندی شده همگرای ویژه همواره بزرگ‌تر از زمان تناوب اصلی قاب‌های ساختمانی ساده توأم با مهاربندهای همگرای معمولی است. به عبارت دیگر، قاب‌های ساختمانی ساده توأم با مهاربندهای همگرای ویژه همواره انعطاف‌پذیرتر از قاب‌های با مهاربندهای همگرای معمولی است. البته علی‌رغم انعطاف‌پذیر بودن قاب‌های ساختمانی ساده توأم با مهاربندهای همگرای ویژه نسبت به مهاربندهای همگرای معمولی، تغییر مکان جانبی حداکثر قاب‌های ساختمانی ساده توأم



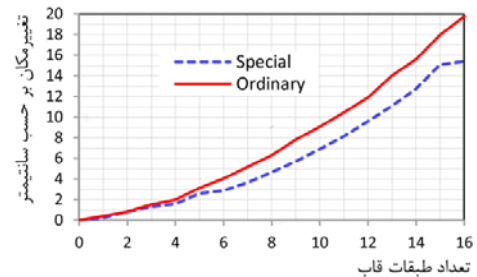
ب) منحنی زمان تناوب اصلی بر حسب تعداد طبقات



ت) منحنی وزن اسکلت بر حسب تعداد طبقات



الف) منحنی برش پایه بر حسب تعداد طبقات



پ) منحنی تغییر مکان جانبی حداکثر بر حسب تعداد طبقات

شکل ۲ مقایسه برش پایه، زمان تناوب اصلی، تغییر مکان جانبی حداکثر و وزن اسکلت قاب‌های مهاربندی شده ضربه‌بری معمولی و ویژه

تغییر مکان هدف) به نیروی متناظر با تشکیل اولین مفصل پلاستیک در سازه.

$$\Omega = \frac{V_y}{V_s} \quad (3)$$

این ضریب به عوامل گوناگونی از قبیل درجات نامعینی سازه و امکان باز پخش نیروهای داخلی اعضاء، مقاومت‌های بالاتر از حد مشخص شده مصالح مصرفی، سخت شدن کرنش‌ها، محدودیت‌های آئین نامه‌ای بر روی تغییر مکان‌های جانبی، ضوابط حداقل آئین نامه‌ای برای ابعاد و جزئیات قطعات، اثرات اجزای غیرسازه‌ای و غیره دارد. در مبحث دهم مقررات ملی ساختمان و نیز در آئین نامه ASCE7 مقدار  $\Omega$  برای قاب‌های ساختمانی ساده توأم با مهاربندی‌های همگرا برابر ۲ فرض شده است.

$R_\mu = R_\Omega$  = ضریب کاهش شکل پذیری. مطابق شکل (۳) ضریب کاهش شکل پذیری عبارت است از نسبت نیروی نهایی وارد بر سازه در صورتی که رفتار سازه الاستیک فرض شود به نیروی متناظر با حد تسليم کلی سازه در هنگام تشکیل مکانیزم یا نیرویی متناظر با تغییر مکان هدف، هر کدام که کوچک‌تر باشد.

$$R_\mu = \frac{V_e}{V_y} \quad (4)$$

در صورتی که ضریب اضافه مقاومت قاب‌های ساختمانی ساده توأم با مهاربندی‌های همگرا برابر ۲ فرض شود، در این صورت مطابق استاندارد ۲۸۰۰ ایران حداقل ضریب کاهش شکل پذیری مورد نیاز در این نوع قاب‌های ساختمانی از روابط زیر تعیین می‌شود.

الف) برای مهاربندی‌های همگرای معمولی:

$$R = 3.5 \Rightarrow R_\mu \geq \frac{3.5}{2} \Rightarrow R_\mu \geq 1.75 \quad (5)$$

ب) برای مهاربندی‌های همگرای ویژه:

$$R = 5.5 \Rightarrow R_\mu \geq \frac{5.5}{2} \Rightarrow R_\mu \geq 2.75 \quad (6)$$

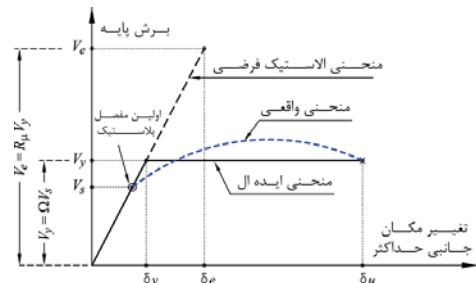
بر اساس آئین نامه فیما [۱۷]، روش تحلیل استاتیکی غیرخطی یا تحلیل بارافزون یکی از

### ضریب کاهش شکل پذیری و مطالعات گذشته

روش‌های محاسبه سازه‌های مقاوم در برابر زلزله با قبول این اصل که سازه در زلزله‌های شدید تحت اثر تغییر‌شکل‌های بالای حد الاستیک قرار می‌گیرد، قابلیت تغییر‌شکلی را که در منطقه غیر الاستیک وجود دارد، معیار شکل پذیری کلی قرار می‌دهند و آن را با ضریب  $\mu$  بیان می‌نمایند، که برحسب تعریف عبارت است از نسبت تغییر‌شکل حد اکثر قابل استفاده (بدون خرابی) به تغییر‌شکل نظری تسليم کلی سازه.

$$\mu = \frac{\delta_u}{\delta_y} \quad (1)$$

در اکثر آئین نامه‌های زلزله، ضریب  $R$  به عنوان ضریب رفتار ساختمان نام‌گذاری شده و در برگیرنده آثار عواملی از قبیل درجه نامعینی، اضافه مقاومت موجود و شکل پذیری در سازه است. تأثیر این عوامل در پاسخ عمومی سازه به همراه پاسخ الاستیک فرضی به طور ترسیمی در شکل (۳) برای سازه‌هایی که براساس روش‌های حدی نهایی طراحی می‌شوند، نمایش داده شده است.



شکل ۳ پاسخ غیر الاستیک و پاسخ الاستیک فرضی

مطابق شکل (۳) ضریب رفتار نهایی از رابطه زیر تعیین می‌گردد.

$$R = \Omega R_\mu \quad (2)$$

که در آن  $\Omega$  = ضریب اضافه مقاومت می‌باشد و عبارت است از نسبت نیروی متناظر با حد تسليم کلی سازه در هنگام تشکیل مکانیزم (یا نیرویی متناظر با

$$\begin{aligned} T_1' < T < T_1 &\Rightarrow R_\mu = \frac{T \cdot \mu}{T_1} \\ T_1 < T < T_2 &\Rightarrow R_\mu = \mu \\ T_1 < T < 10.0 \text{ s} &\Rightarrow R_\mu = \mu \\ T_1 = 2\pi \frac{\phi_{ev} \cdot V}{\phi_{ea} \cdot A} &\quad (10) \end{aligned}$$

$$T_1' = T_1 \frac{\mu}{\sqrt{2\mu - 1}} \quad (11)$$

$$T_2 = 2\pi \frac{\phi_{ed} \cdot D}{\phi_{ev} \cdot V} \quad (12)$$

$V$ ،  $A$  و  $D$  به ترتیب عبارتند از شتاب، سرعت و تغییر مکان حداکثر شتاب نگاشت مورد نظر و  $\phi_{ea}$ ،  $\phi_{ed}$  و  $\phi_{ev}$  به ترتیب عبارتند از ضرایب اصلاحی نظیر شتاب، سرعت و تغییر مکان طیفی.

(۳) روش «لا و بیگر» [۲۱]: مطابق روش «لا و بیگر» ضریب کاهش شکل پذیری از رابطه زیر محاسبه می‌شود.

$$R_\mu = \alpha + \beta(\log T) \quad (13)$$

جدول ۱ مقادیر  $\alpha$  و  $\beta$  در روش لا و بیگر

	زمان تناوب	ضریب	$\mu=2$	$\mu=3$	$\mu=4$	$\mu=5$
$0.1 < T < 0.5$	$\alpha$	۱/۶۷۹۱	۲/۲۲۹۶	۲/۶۵۸۷	۳/۱۱۰۷	
	$\beta$	۰.۳۲۹۱	۰/۷۷۲۹۶	۱/۰۵۸۷	۱/۴۳۰۷	
$0.5 < T < 0.7$	$\alpha$	۲/۰۳۳۲	۲/۷۷۷۲۲	۲/۳۷۰۰	۳/۸۳۳۶	
	$\beta$	۱/۰۵۰۵	۲/۵۳۲۰	۳/۴۲۱۷	۳/۸۲۲۳	
$0.7 < T < 1.0$	$\alpha$	۱/۸۴۰۹	۲/۴۸۲۳	۲/۹۸۵۳	۳/۴۱۸۰	
	$\beta$	۰/۲۶۴۲	۰/۶۶۰۵	۰/۹۳۸۰	۱/۱۴۹۳	

(۴) روش «میراندا و برترو» [۲۲، ۲۳]: مطابق روش «میراندا و برترو» ضریب کاهش شکل پذیری از رابطه زیر تعیین می‌گردد.

$$R_\mu = \frac{\mu - 1}{\Phi} + 1 \geq 1 \quad (14)$$

که در آن:

روش‌های قابل قبول برای برآورده میزان ضریب کاهش شکل پذیری است. بر اساس این روش تحلیل، محققان مختلف روابط مختلفی را برای برآورده میزان ضریب کاهش شکل پذیری ارائه نموده‌اند که در ادامه به چند نمونه از آنها پرداخته می‌شود.

(۱) روش مبتنی بر مفهوم تساوی تغییر مکان‌ها و مفهوم تساوی سطح زیر منحنی نیرو-تغییر مکان [۱۸]: بر اساس این روش سیستم‌های سازه‌ای که دارای زمان تناوب طبیعی بزرگی هستند (مثلًاً بیش از یک ثانیه)، تغییر مکان حداکثر نظیر حالت الاستیک فرضی با تغییر مکان حداکثر نظیر حالت غیر الاستیک (که برابر است با کوچکترین مقدار تغییر مکان نظیر تشکیل مکانیزم یا تغییر مکان هدف) اختلاف اندکی با هم دارند و برای این گونه سیستم‌های سازه‌ای براساس مفهوم تساوی تغییر مکان‌های الاستیک و غیر الاستیک ضریب کاهش شکل پذیری از رابطه زیر تعیین می‌گردد.

$$R_\mu = \mu \quad (7)$$

هم‌چنین براساس این روش سیستم‌های سازه‌ای که دارای زمان تناوب طبیعی نسبتاً کوچکی هستند (مثلًاً کوچکتر از  $0.5$  ثانیه)، براساس مفهوم تساوی سطح زیر منحنی نیرو-تغییر شکل در حالت‌های الاستیک فرضی و غیر الاستیک و با فرض رفتار ایده‌آل الاستوپلاستیک کامل، ضریب کاهش شکل پذیری از رابطه زیر تعیین می‌گردد.

$$R_\mu = \sqrt{(2\mu - 1)} \quad (8)$$

(۲) روش «نیومارک و هال» [۱۹، ۲۰]: براساس روش «نیومارک و هال» ضریب کاهش شکل پذیری از طریق روابط زیر تعیین می‌گردد.

$$0 < T < T_1 / 10 \Rightarrow R_\mu = 1 \quad (9)$$

$$T_1 / 10 < T < T_1 / 4 \Rightarrow R_\mu = \sqrt{2\mu - 1} \left[ \frac{T_1}{4T} \right]^{2.513 \log \left[ \frac{1}{\sqrt{2\mu - 1}} \right]}$$

$$T_1 / 4 < T < T_1 \Rightarrow R_\mu = \sqrt{2\mu - 1}$$

$$T_e \geq T_s \Rightarrow C_1 = 1 \quad (20)$$

$$T_e < T_s \Rightarrow C_1 = [1 + (R_d - 1)T_s / T_e] / R_d \quad (21)$$

$T_e$  زمان تناوب مؤثر ساختمان مطابق رابطه زیر:

$$T_e = T_i \sqrt{\frac{K_1}{K_e}} \quad (22)$$

که در آن:

$T_i$  زمان تناوب اصلی الاستیک؛

$K_1$  شب خط مماس بر منحنی ظرفیت در مبدأ (سختی جانبی الاستیک سازه)؛

$K_e$  سختی جانبی مؤثر سازه؛

$T_s$  پارامتر نوع زمین مطابق استاندارد ۲۸۰۰ ایران؛

$R_d$  نسبت مقاومت و از رابطه زیر تعیین می‌گردد.

$$R_d = \frac{S_a W}{V_y} \quad (23)$$

که در آن:

$S_a$  شتاب طیفی بهاری زمان تناوب اصلی مؤثر؛

$W$  وزن مؤثر لرزه‌ای می‌باشد.

برای محاسبه تغییرمکان هدف با استفاده از رابطه

(۱۸) منحنی ظرفیت (منحنی برش پایه-تغییرمکان جانبی) باید تبدیل به منحنی دوخطی گردد تا برش پایه

جاری شدن مؤثر سازه ( $V_y$ ) و تغییرمکان نظیر آن ( $\delta_y$ ) تعیین و از این مقادیر برای محاسبه زمان تناوب مؤثر ( $T_e$ ) استفاده شود. دوخطی کردن منحنی ظرفیت مطابق شکل (۴) بهنحوی صورت می‌پذیرد که خط اول

از نقطه شروع با شبیه برابر با سختی جانبی مؤثر ( $K_e$ )

رسم می‌گردد. سختی جانبی مؤثر برابر سختی سکانت محاسبه شده در برش پایه نظیر ۶۰٪ برش پایه جاری شدن مؤثر سازه ( $V_y$ ) می‌باشد. برش پایه جاری شدن

مؤثر سازه ( $V_y$ ) باید از حداکثر برش پایه در نقاط مختلف ظرفیت بیشتر باشد. خط دوم نماینده شبیه

مثبت بعد از جاری شدن سازه است که از نقطه‌ای به

مختصات ( $\delta_u$  و  $V_u$ ) و نقطه‌ای روی خط اول چنان

ترسیم می‌شود که سطح زیر مدل رفتار دوخطی برابر

سطح زیر منحنی غیرخطی تا نقطه ( $\delta_u$  و  $V_u$ ) باشد.

$$\Phi = 1 + \frac{1}{10T - \mu T} - \frac{1}{2T} e^{-1.5(\ln(T) - 0.6)^2} \quad (15)$$

$$\Phi = 1 + \frac{1}{12T - \mu T} - \frac{2}{5T} e^{-2(\ln(T) - 0.2)^2} \quad (16)$$

$$\Phi = 1 + \frac{Tg}{3T} - \frac{3Tg}{4T} e^{-3(\ln(\frac{T}{Tg}) - 0.35)^2} \quad (17)$$

در رابطه (۱۷)  $T_e$  زمان تناوب غالب زلزله است که در آن پاسخ سرعت نسبی به حداکثر مقدار خود می‌رسد. هم‌چنین رابطه (۱۵) برای زمین‌های سنگی، رابطه (۱۶) برای زمین‌های رسوبی و رابطه (۱۷) برای زمین‌های با خاک نرم تنظیم گردیده است.

مطابق آئین‌نامه فیما ۳۵۶ برای برآورد  $R_d$  باستی تغییرمکان هدف محاسبه و براساس آن منحنی ظرفیت دوخطی گردد. سپس براساس پارامترهای به دست آمده از منحنی دوخطی ضریب  $R_d$  محاسبه گردد. مطابق استاندارد ۲۸۰۰ ایران (ویرایش چهارم)، تغییرمکان هدف ساختمان‌های طراحی شده یا مقاوم‌سازی شده از رابطه زیر تعیین می‌گردد [۱۷].

$$\delta_t = C_0 C_1 S_a \frac{T_e^2}{\sqrt{2}} \quad (18)$$

که در آن  $C_0$  ضریب اصلاح برای ارتباط تغییرمکان طیفی سیستم یک درجه آزادی به تغییرمکان بام سیستم چند درجه آزادی است و از رابطه زیر محاسبه می‌شود.

$$C_0 = \phi_{1,r} \frac{\sum_{i=1}^n w_i \phi_{1,i}}{\sum_{i=1}^n w_i \phi_{1,i}^2} \quad (19)$$

که در آن:

$w_i$  وزن مؤثر لرزه‌ای؛

$\phi_{1,i}$  مؤلفه بردار شکل مد اول در تراز ۱؛

$C_1$  ضریب اصلاح برای تبدیل تغییر مکان‌های محاسبه شده از پاسخ خطی الاستیک به حداکثر تغییرمکان‌های غیرالاستیک مورد انتظار سازه می‌باشد. این ضریب از روابط زیر محاسبه می‌شود.

نحوه مدل‌سازی رابطه غیرالاستیک نیرو-تغییرشکل در نرم‌افزارهای متعدد بدین گونه است که فرض می‌شود تغییرشکل غیرالاستیک اعضا در مفاصل پلاستیک متمرکز می‌شوند و رفتار سایر نقاط اعضا الاستیک باقی می‌مانند. در اعضای خموشی (نظیر تیرها و ستون‌ها) مفاصل پلاستیک عموماً به ابتداء و انتهای عضو و یا به محل‌هایی که نیروهای متمرکز اعمال می‌شوند، اختصاص داده می‌شوند که می‌توانند از نوع V, M و اندرکنش P-M باشد. در اعضای محوری نظیر مهاربیندها و نیز ستون‌هایی که دارای رفتار محوری هستند، این مفاصل پلاستیک می‌توانند از نوع P اختیار شوند و به وسط اعضا اختصاص یابد.

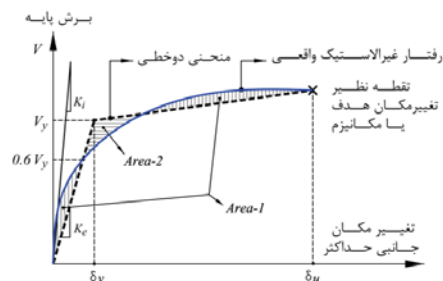
در ابتدای این بخش به روش‌های مختلف محاسبه ضریب کاهش شکل‌پذیری پرداخته شد. هر کدام از این روش‌ها دارای محدودیت‌ها و ویژگی‌هایی هستند. به عنوان مثال، رابطه (۷) برای سازه‌هایی قابل کاربرد است که دارای زمان تناوب بیش از یک ثانیه هستند. هم‌چنین رابطه (۸) برای سازه‌هایی قابل کاربرد است که دارای زمان تناوب کمتر از  $0/5$  ثانیه هستند. آن جاییکه زمان تناوب سازه‌های مورد بررسی در این تحقیق اکثراً بین  $0/5$  تا یک ثانیه هستند، لذا محاسبه ضریب کاهش شکل‌پذیری این سازه‌ها با استفاده از روابط (۷) و (۸) دارای اعتبار نخواهد بود.

اگر چه امروزه محاسبه ضریب کاهش شکل‌پذیری براساس هر کدام از روش‌های «نیومارک و هال»، «لا و بیگر» و «میراندا و برترو» مورد تایید متخصصان می‌باشد، لیکن به‌دلیل برخورداری روش «میراندا و برترو» از اقبال عمومی بیشتر نزد محققان، در این تحقیق برای محاسبه ضریب کاهش شکل‌پذیری از روش «میراندا و برترو» استفاده شده است.

### تحلیل بارافزون و محاسبه ضریب کاهش شکل‌پذیری

در این مقاله برای ارزیابی ضریب کاهش شکل‌پذیری،

$\delta_u$  و  $V_u$ ) روی منحنی ظرفیت سازه در تغییرمکان هدف یا تغییرمکان نظری تشکیل مکانیزم، هر کدام که کمتر باشد، قرار دارد.



شکل ۴ نحوه دوخطی کردن منحنی ظرفیت

اگر چه ظاهرآً به نظر می‌رسد که دوخطی کردن منحنی ظرفیت کار نسبتاً پیچیده‌ای است، لیکن به‌دلیل آن که در حد فاصل تشکیل دو مفصل پلاستیک در سازه، رفتار سازه خطی فرض می‌شود، لذا با استفاده از روش آزمون و خطا با انتخاب یک مقدار برای  $V_y$ ، سطح زیر منحنی دو خطی محاسبه شده و با سطح زیر منحنی ظرفیت مقایسه می‌شود. در صورت یکسان بودن سطح زیر منحنی دو خطی با سطح زیر منحنی ظرفیت، مقدار دیگری برای  $V_y$  انتخاب می‌شود و مراحل قبلی تکرار می‌شود. پس از رسیدن به دقیق قابل قبول، می‌توان تغییرمکان هدف و نیز مقادیر  $\delta_y$  و  $V_y$  را تعیین نمود. در این تحقیق این عملیات از طریق تهیه یک نرم‌افزار کوچک صورت گرفته است. یکی از گام‌های مهم در تحلیل بارافزون اختصاص رابطه نیرو-تغییرشکل به اعضا است. اساساً رفتار غیرالاستیک هر عضو و یا به‌عبارت دیگر رابطه نیرو-تغییرشکل باید از طریق نتایج آزمایشگاهی تعیین شود. لیکن در آئین نامه فيما ۳۵۶ قید شده است که به‌جای انجام مطالعات آزمایشگاهی می‌توان از روابط معیار پذیرش اینمی جانی برای تعیین ظرفیت تغییرشکل اعضا استفاده نمود. در این تحقیق برای مدل‌سازی رابطه غیرالاستیک نیرو-تغییرشکل از روابط مندرج در فيما ۳۵۶ بهره برده شده است.

ویژه، که در دو دهانه میانی مجاور هم قرار گرفته‌اند، ارائه شده است. همچنین در شکل‌های (۳) و (۷) منحنی‌های ظرفیت و منحنی‌های دوخطی ایده‌ال به ترتیب برای هشت قاب ساختمانی ساده توأم با مهاربندهای همگرای معمولی و ویژه (قاب‌های با تعداد طبقات زوج) نمایش داده شده است. اگرچه مقادیر ارائه شده در جداول (۲) و (۳) نیز منحنی‌های ظرفیت ارائه شده در شکل‌های (۶) و (۷) به خودی خود نمایانگر ویژگی‌های این گونه قاب‌های مهاربندی شده می‌باشد، لیکن در بخش بعدی این مقاله این ویژگی‌ها به تفصیل مورد بحث و بررسی قرار خواهد گرفت.

از ۳۲ قاب ساختمانی ساده توأم با مهاربندهای همگرای ضربدری که در دو دهانه میانی مجاور هم قرار گرفته‌اند، استفاده شده است. از این ۳۲ قاب ۱۶ تای آنها مربوط به قاب‌های ساختمانی ساده توأم با مهاربندهای همگرای ضربدری معمولی از یک تا ۱۶ طبقه و ۱۶ تای دیگر آنها مربوط به قاب‌های ساختمانی ساده توأم با مهاربندهای همگرای ضربدری ویژه از یک تا ۱۶ طبقه است.

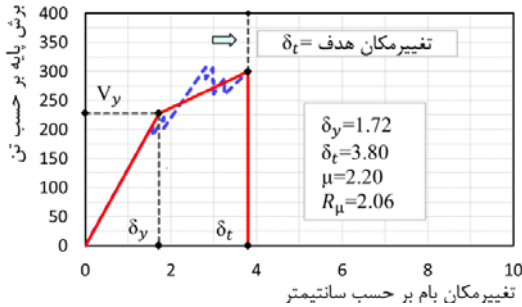
در جداول (۲) و (۳) مقادیر پارامترهای مربوط به محاسبه تغییرمکان هدف، مقادیر مربوط به منحنی دوخطی ایده‌ال و نهایتاً مقدار ضریب کاهش شکل‌پذیری براساس رابطه میراندا و برtero به ترتیب برای شانزده قاب مهاربندی شده ضربدری معمولی و

جدول ۲ پارامترهای مربوط به منحنی ظرفیت ۱۶ قاب ساختمانی ساده توأم با مهاربندهای همگرای معمولی و  
واقع در دو دهانه میانی

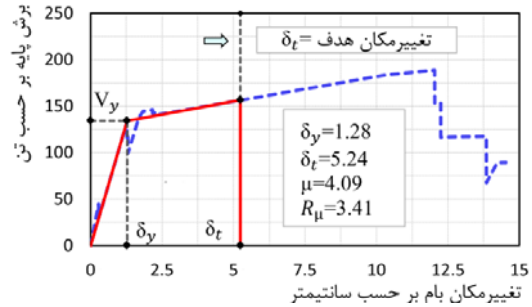
تعداد طبقات قابل	$T_e$ (s)	$C_0$	$C_1$	$S_a$	$\delta_t$ (cm)	$\delta_y$ (cm)	$V_y$ (ton)	$V_u$ (ton)	$\mu$	$\Phi$	$R_\mu$ (Miranda)
یک طبقه	۰/۳۴۵	۱/۰۰	۱/۶۸	۰/۸۷۵	۴/۳۵	۰/۹۰	۷۷/۳	۸۳/۲	۴/۸۳	۱/۳۶	۳/۸۲
دو طبقه	۰/۳۶۸	۱/۲۱	۱/۴۷	۰/۸۷۵	۵/۲۴	۱/۲۸	۱۳۴/۳	۱۵۷/۵	۴/۰۹	۱/۲۸	۳/۴۱
سه طبقه	۰/۳۸۷	۱/۲۹	۱/۲۳	۰/۸۷۵	۵/۱۷	۱/۱۰	۱۴۲/۲	۲۲۱/۸	۴/۷۰	۱/۲۸	۳/۸۹
چهار طبقه	۰/۴۲۷	۱/۳۴	۱/۱۳	۰/۸۷۵	۳/۸۰	۱/۷۲	۲۲۷/۹	۳۰۰/۰	۲/۲۰	۱/۱۴	۲/۰۶
پنج طبقه	۰/۵۲۳	۱/۳۸	۱/۰۰	۰/۸۴۹	۴/۶۹	۲/۳۷	۲۵۰/۹	۳۱۹/۳	۱/۹۸	۱/۰۱	۱/۹۷
شش طبقه	۰/۶۲۲	۱/۴۰	۱/۰۰	۰/۷۵۶	۵/۷۸	۳/۰۸	۲۶۹/۸	۳۴۳/۱	۱/۸۷	۰/۹۰	۱/۹۷
هفت طبقه	۰/۷۱۰	۱/۴۵	۱/۰۰	۰/۶۹۳	۷/۷۹	۳/۷۳	۲۷۷/۶	۳۷۳/۱	۲/۰۹	۰/۸۳	۲/۳۱
هشت طبقه	۰/۷۹۰	۱/۴۵	۱/۰۰	۰/۶۴۵	۸/۳۶	۴/۹۵	۳۲۷/۰	۴۰۷/۴	۱/۷۹	۰/۷۸	۱/۸۹
نه طبقه	۰/۸۹۵	۱/۴۶	۱/۰۰	۰/۵۹۴	۹/۴۲	۵/۲۴	۲۹۷/۴	۴۱۷/۴	۱/۸۰	۰/۷۴	۲/۰۸
ده طبقه	۰/۹۷۲	۱/۴۸	۱/۰۰	۰/۵۶۲	۱۹/۵۳	۸/۰۶	۴۱۸/۴	۴۹۷/۲	۱/۴۲	۰/۷۴	۲/۹۳
یازده طبقه	۱/۰۵۶	۱/۴۹	۱/۰۰	۰/۵۳۲	۱۴/۱۱	۸/۱۱	۳۸۷/۳	۴۸۷/۱	۱/۷۴	۰/۷۳	۲/۰۱
دوازده طبقه	۱/۱۳۸	۱/۵۲	۱/۰۰	۰/۵۰۶	۱۷/۹۱	۱۰/۰۴	۴۴۱/۹	۵۴۶/۸	۱/۷۸	۰/۷۴	۲/۰۶
سیزده طبقه	۱/۲۵۳	۱/۵۲	۱/۰۰	۰/۴۷۴	۱۷/۰۰	۱۰/۴۲	۴۰۷/۵	۵۲۴/۶	۱/۶۳	۰/۷۶	۱/۸۳
چهارده طبقه	۱/۳۳۴	۱/۵۳	۱/۰۰	۰/۴۵۵	۲۱/۷۲	۱۲/۸۴	۴۷۲/۴	۵۷۱/۴	۱/۷۹	۰/۷۸	۱/۸۹
پانزده طبقه	۱/۴۴۷	۱/۵۴	۱/۰۰	۰/۴۳۱	۳۴/۵۳	۱۵/۴۴	۵۱۴/۶	۶۰۲/۰	۲/۲۴	۰/۸۱	۲/۵۳
شانزده طبقه	۱/۵۲۰	۱/۵۵	۱/۰۰	۰/۴۱۷	۳۷/۱۱	۱۸/۲۹	۵۷۸/۹	۶۶۵/۸	۲/۰۳	۰/۸۳	۲/۲۵

جدول ۳ پارامترهای مربوط به منحنی ظرفیت ۱۶ قاب ساختمانی ساده توأم با مهاربندهای همگرای ویژه واقع در دو دهانه میانی

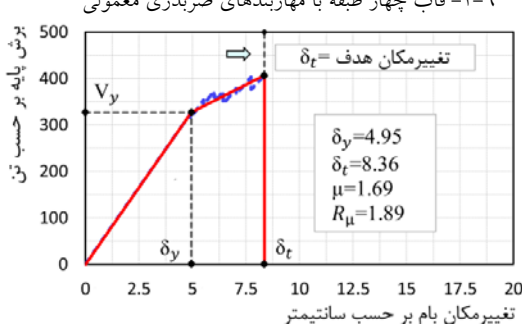
تعداد طبقات قاب	$T_e$ (s)	$C_0$	$C_1$	$S_a$	$\delta_t$ (cm)	$\delta_y$ (cm)	$V_y$ (ton)	$V_u$ (ton)	$\mu$	$\Phi$	$R_\mu$ (Miranda)
یک طبقه	۰/۳۴۵	۱/۰۰	۱/۶۸	۰/۸۷۵	۴/۳۵	۰/۹۲	۷۴/۴	۸۳/۲	۴/۸۳	۱/۳۶	۳/۸۲
دو طبقه	۰/۵۳۷	۱/۱۹	۱/۰۰	۰/۸۷۵	۸/۸۸	۱/۸۰	۷۷/۷	۹۷/۸	۴/۹۳	۱/۰۷	۴/۶۷
سه طبقه	۰/۶۶۰	۱/۲۷	۱/۰۰	۰/۸۷۵	۱۲/۶۳	۲/۸۷	۱۳۰/۶	۱۴۰/۵	۴/۴۰	۰/۹۲	۴/۷۱
چهار طبقه	۰/۵۰۴	۱/۳۳	۱/۰۰	۰/۸۷۰	۷/۳۰	۱/۷۲	۱۶۶/۲	۲۲۴/۰	۴/۲۵	۱/۰۹	۳/۹۸
پنج طبقه	۰/۶۷۲	۱/۳۷	۱/۰۰	۰/۷۴۶	۱۱/۴۷	۲/۹۱	۱۸۸/۲	۲۱۸/۳	۳/۹۴	۰/۸۹	۴/۲۹
شش طبقه	۰/۶۷۷	۱/۴۰	۱/۰۰	۰/۷۱۵	۱۱/۴۰	۳/۳۲	۲۴۱/۱	۲۸۵/۱	۳/۴۳	۰/۸۸	۳/۷۷
هفت طبقه	۰/۷۸۱	۱/۴۳	۱/۰۰	۰/۶۵۰	۱۴/۰۹	۴/۳۷	۲۷۱/۲	۳۱۲/۴	۳/۲۲	۰/۸۰	۳/۷۷
هشت طبقه	۰/۸۸۴	۱/۴۵	۱/۰۰	۰/۵۹۸	۱۶/۸۴	۵/۵۱	۲۸۸/۰	۳۳۳/۶	۳/۰۶	۰/۷۶	۳/۷۱
نه طبقه	۰/۹۹۷	۱/۴۶	۱/۰۰	۰/۵۰۲	۱۹/۹۱	۷/۶۰	۳۰۰/۵	۳۶۴/۰	۳/۰۲	۰/۷۴	۳/۷۲
ده طبقه	۱/۱۱۵	۱/۴۸	۱/۰۰	۰/۵۱۳	۲۳/۴۶	۷/۷۴	۳۰۸/۶	۳۸۳/۰	۳/۰۳	۰/۷۵	۳/۷۲
یازده طبقه	۱/۲۳۰	۱/۴۹	۱/۰۰	۰/۴۸۰	۲۶/۸۹	۸/۹۰	۳۱۶/۴	۳۹۳/۰	۳/۰۲	۰/۷۷	۳/۶۴
دوازده طبقه	۱/۳۵۳	۱/۴۹	۱/۰۰	۰/۴۵۱	۳۰/۰۷	۱۰/۴۳	۳۳۰/۴	۳۹۴/۰	۲/۹۳	۰/۷۹	۳/۴۴
سیزده طبقه	۱/۴۷۲	۱/۵۰	۱/۰۰	۰/۴۲۶	۳۲/۸۰	۱۱/۴۶	۳۲۹/۰	۳۹۹/۸	۲/۸۷	۰/۸۲	۳/۲۸
چهارده طبقه	۱/۵۸۷	۱/۵۱	۱/۰۰	۰/۴۰۵	۳۳/۵۰	۱۳/۲۳	۳۴۴/۱	۴۱۷/۹	۲/۵۳	۰/۸۵	۲/۸۱
پانزده طبقه	۱/۷۵۷	۱/۵۱	۱/۰۰	۰/۳۷۹	۳۵/۰۰	۱۳/۹۲	۳۱۷/۹	۳۸۹/۵	۲/۵۲	۰/۸۹	۲/۷۲
شانزده طبقه	۱/۷۷۵	۱/۵۴	۱/۰۰	۰/۳۷۶	۳۰/۰۰	۱۶/۱۲	۳۷۶/۹	۴۴۷/۷	۱/۸۶	۰/۸۹	۱/۹۷



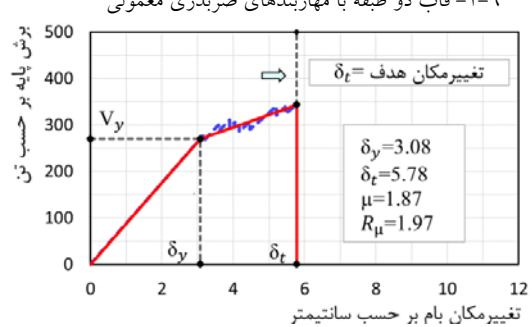
۶-۲- قاب چهار طبقه با مهاربندهای ضربدری معمولی



۶-۱- قاب دو طبقه با مهاربندهای ضربدری معمولی

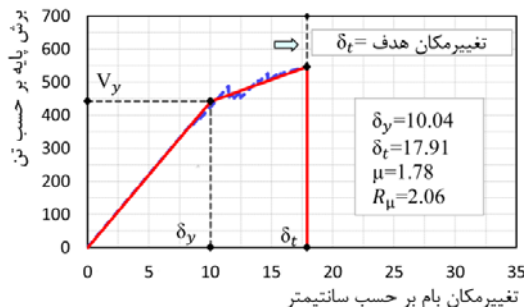


۶-۴- قاب هشت طبقه با مهاربندهای ضربدری معمولی

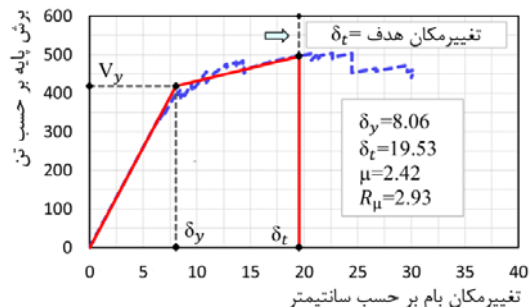


۶-۳- قاب شش طبقه با مهاربندهای ضربدری معمولی

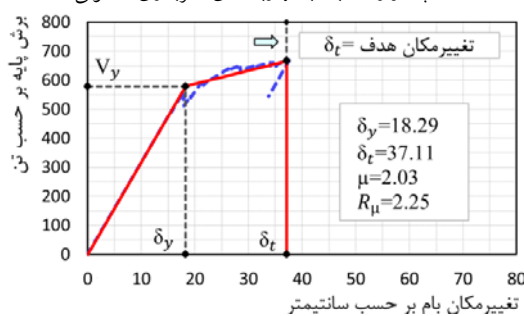
بررسی شکل پذیری قاب‌های فولادی مهاربندی شده...



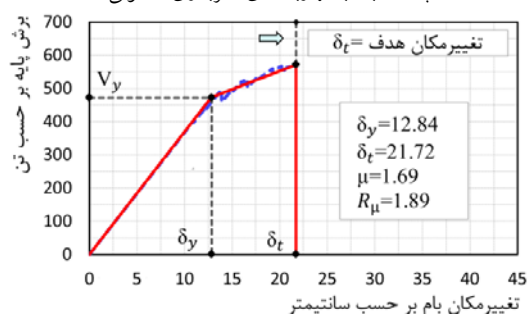
۵-۵- قاب دوازده طبقه با مهاربندهای ضربدری معمولی



۵-۶- قاب ده طبقه با مهاربندهای ضربدری معمولی

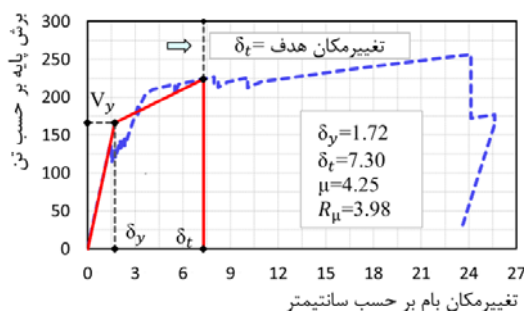


۶-۶- قاب شانزده طبقه با مهاربندهای ضربدری معمولی

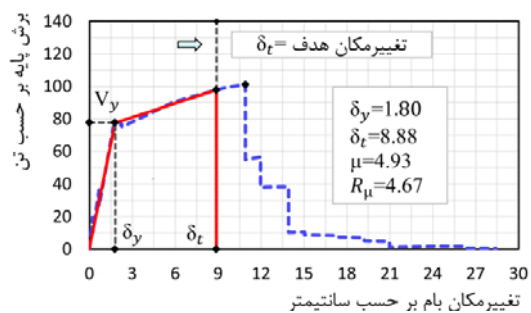


۶-۷- قاب چهارده طبقه با مهاربندهای ضربدری معمولی

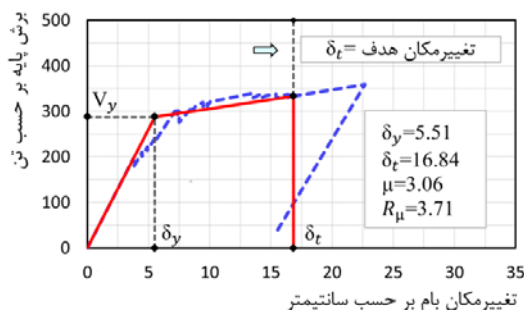
شکل ۶ منحنی ظرفیت ۸ قاب ساختمانی ساده توأم با مهاربندهای همگرای ضربدری معمولی واقع در دو دهانه میانی



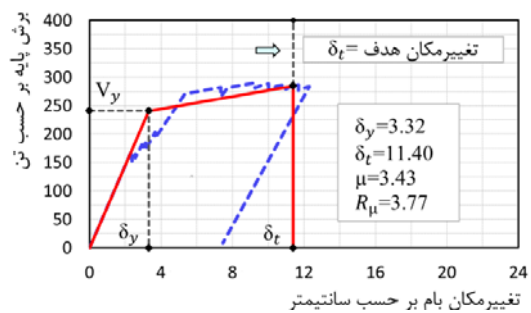
۷-۲- قاب چهار طبقه با مهاربندهای ضربدری ویژه



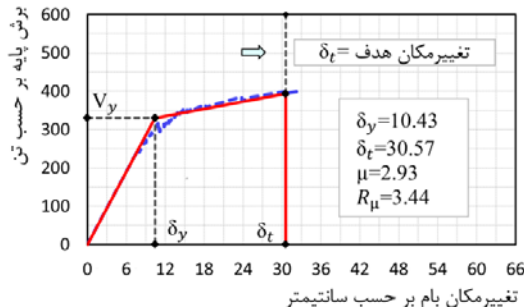
۷-۷- قاب دو طبقه با مهاربندهای ضربدری ویژه



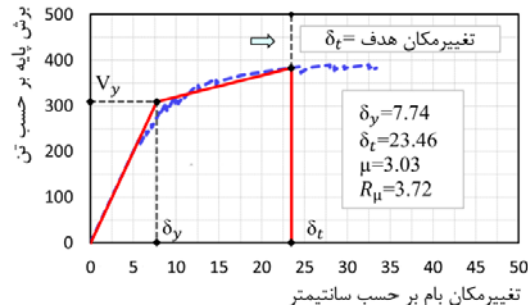
۷-۴- قاب هشت طبقه با مهاربندهای ضربدری ویژه



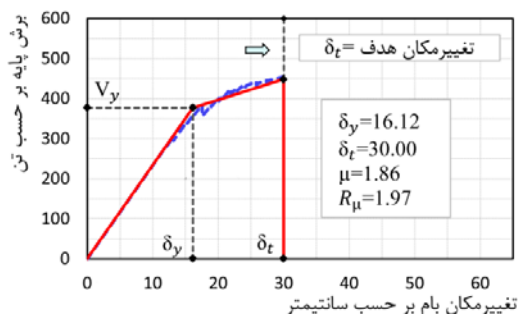
۷-۳- قاب شش طبقه با مهاربندهای ضربدری ویژه



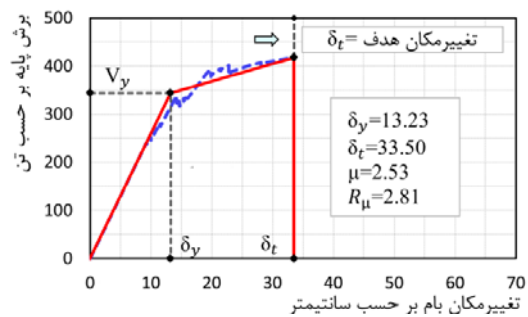
۶- قاب دوازده طبقه با مهاربندهای ضربدری ویژه



۵-۷ قاب ده طبقه با مهاربندهای ضربدری ویژه



۸- قاب شانزده طبقه با مهاربندهای ضربدری ویژه



۷-۷ قاب چهارده طبقه با مهاربندهای ضربدری ویژه

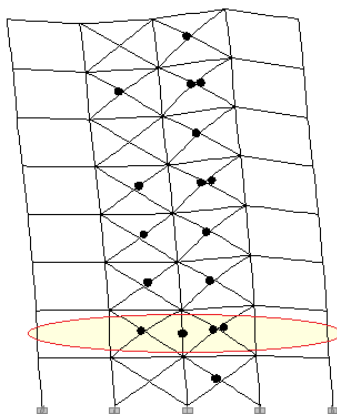
شکل ۷ منحنی ظرفیت ۸ قاب ساختمانی ساده توأم با مهاربندهای همگرای ضربدری ویژه واقع در دو دهانه میانی

قاب‌های مهاربندی شده ضربدری معمولی و واقع در دو دهانه میانی مجاور هم، مطابق مقادیر جدول (۲) ضربی کاهش شکل پذیری ۱۶ قاب ساختمانی ساده توأم با مهاربندهای ضربدری معمولی و واقع در دو دهانه میانی مجاور هم از  $1/19$  تا  $1/83$  متغیر می‌باشد. کلیه این مقادیر از مقدار پیش‌بینی شده در استاندارد ۲۸۰۰ ایران (ویرایش چهارم) بیشتر است و از منظر ضربی کاهش شکل پذیری مورد انتظار، در این نوع قاب‌های مهاربندی شده ضربدری، ضعف عمددهای مشاهده نمی‌شود. در واقع چون این نوع قاب‌ها برای نیروهای بزرگ‌تری طراحی می‌شوند، لذا ابعاد مقاطع مهاربندهای به کار رفته در این نوع قاب‌ها نسبت به ابعاد مهاربندهای به کار رفته در قاب‌های با مهاربند ویژه بزرگ‌تر به دست می‌آید و این بزرگ‌تر بودن ابعاد مقاطع مهاربندها باعث می‌شود  $V_y$  این گونه سیستم‌های

### بحث و بررسی

ذکر این نکته ضروری است که برای خوانندگان این مقاله ممکن است این پرسش مطرح باشد که انتخاب دهانه‌های میانی برای مهاربندها براساس چه ملاحظاتی بوده است. در واقع باید گفت که چون ضربی کاهش شکل پذیری مهاربندهای واقع در دهانه‌های کناری به خاطر حساس بودن آنها به نیروی بلندشدنی ستون و نیز ضربی کاهش شکل پذیری مهاربندهای واقع در دهانه‌های میانی به خاطر عدم مشارکت ستون‌های واقع در طرفین دو دهانه مهاربندی شده مجاور هم در برابر نیروهای جانبی، با هم متفاوت هستند، از این‌رو در این مقاله تلاش شده است فقط رفتار قاب‌های ساختمانی ساده توأم با مهاربندهای ضربدری و واقع در دو دهانه میانی مجاور هم، مورد ارزیابی قرار گیرد.

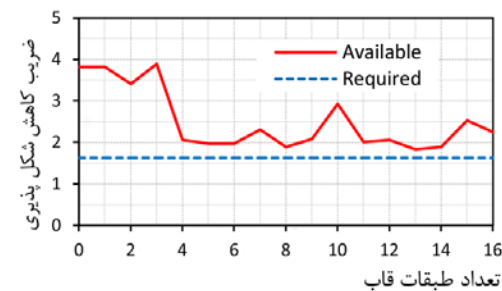
می‌تواند افزایش یابد، زیرا مطابق نتایج به‌دست آمده حتی برای قاب‌های تا شانزده طبقه نیز مشکلی از نظر میزان شکل پذیری مورد نیاز مشاهده نگردید و این به‌خاطر بالاتر بودن سطح مقاومت طراحی این‌گونه قاب‌های مهاربندی شده بوده است که پایین‌تر بودن شکل پذیری آنها را جبران می‌کند.



شکل ۹ مکانیزم فروریختگی قاب مهاربندی شده ضربدری معمولی هشت طبقه

نکته دیگری که توجه به آن نیز حائز اهمیت است، در شکل (۹) مشاهده می‌شود که در لحظه تشکیل مکانیزم در ستون میانی مفصل پلاستیک ایجاد شده است. شاید چنین تصور شود که چون در این ستون‌ها برآیند نیروهای مهاربندهای کششی و فشاری همدیگر را خشی می‌کنند در نتیجه در ستون‌های میانی نباید مفصل پلاستیک رخ دهد. ولی باید به این نکته توجه نمود که این استدلال فقط برای تحلیل‌های الاستیک صادق است، زیرا در تحلیل‌های الاستیک در این ستون‌ها ناشی از زلزله، نیروی محوری ایجاد نمی‌شود و این ستون‌ها فقط برای بارهای ثقلی طراحی می‌شوند، ولی در تحلیل‌های غیرخطی استاتیکی (تحلیل بارافزون) چون ظرفیت مهاربندهای فشاری کمتر از ظرفیت مهاربندهای کششی است، در نتیجه مهاربندهای فشاری

سازه‌ای نسبت به مهاربندهای همگرای ویژه بالاتر رود و در نتیجه علی‌رغم کمتر بودن  $8\text{ آنها}$ ، شکل پذیری موردنیاز تأمین می‌گردد. زیرا مطابق نمودار شکل (۸) در همه قاب‌های مهاربندی شده ضربدری معمولی مورد بررسی، ضریب  $R_u$  از مقدار پیشنهاد شده در استاندارد  $2800$  ایران بیشتر است ( $R_u \geq 3.5/2 = 1.75$ ).

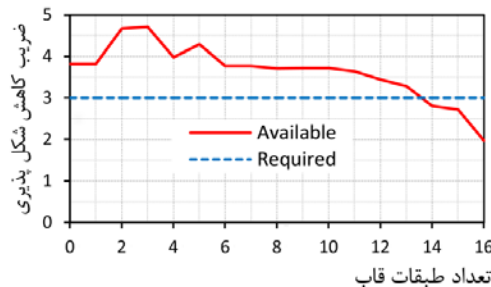


شکل ۸ مقایسه ضریب کاهش شکل پذیری موجود با مورد نیاز  
قاب مهاربندی شده ضربدری معمولی

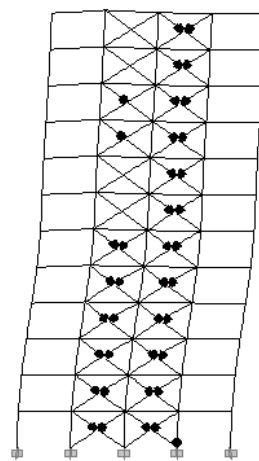
براساس نتایج به‌دست آمده از این تحقیق، ضعف عمدۀ‌ای که در این‌گونه قاب‌های ساختمانی مهاربندی شده ضربدری مشاهده گردید، این بود که مطابق منحنی‌های ظرفیت نشان داده شده در شکل (۶) اکثر این نوع قاب‌های مهاربندی شده نمی‌توانند تغییر مکان هدف مورد نظر آئین‌نامه‌ها را تجربه نمایند و مشابه مکانیزم فروریختگی نمایش داده شده در شکل (۹) برای قاب مهاربندی شده ضربدری معمولی هشت طبقه، قبل از رسیدن تغییر مکان حداقل غیر الاستیک به تغییر مکان هدف، سازه به حالت مکانیزم می‌رسد و فرو می‌ریزد. ولی با این وجود به دلیل بالاتر بودن سطح مقاومت طراحی این نوع قاب‌های مهاربندی شده، شکل پذیری مورد نظر آئین‌نامه‌ها تأمین می‌شود. نکته دیگری که توجه به آن حائز اهمیت است، در آئین‌نامه ASCE7 برای ارتفاع این نوع قاب‌ها محدودیت  $35$  فوت (معادل  $10/7$  متر) پیش‌بینی شده است. براساس نتایج این تحقیق، این محدودیت

نمی شود.

هم‌چنین، براساس نتایج این تحقیق می‌توان نتیجه گرفت که ضریب رفتار پیشنهاد شده در استاندارد ۲۸۰۰ ایران (ویرایش چهارم) برای قاب‌های مهاربندی شده همگرای ویژه منطقی‌تر از مقدار پیشنهاد شده در آئین نامه ASCE7 است، زیرا در قاب‌های مهاربندی شده ضربدری ویژه و دارای زمان تناوب محاسباتی بیش از یک ثانیه (حدوداً بالای ده طبقه)، ضریب کاهش شکل‌پذیری مورد نظر آئین نامه ASCE7 نسبت به ضریب کاهش شکل‌پذیری مورد نظر استاندارد ۲۸۰۰ ایران (ویرایش چهارم) به سختی تأمین می‌شود.



شکل ۱۰ مقایسه ضریب کاهش شکل‌پذیری موجود با مورد نیاز قاب ساختمانی مهاربندی شده ضربدری ویژه ۱۶



شکل ۱۱ مکانیزم فرو ریختگی قاب مهاربندی شده

زودتر از مهاربندهای کششی به حداقل ظرفیت خود می‌رسند و مطابق آئین نامه‌فیما ۳۵۶ اگر تغییر شکل آنها از یک حدی بیشتر باشد در آنها افت مقاومت به وجود می‌آید. پس از این گام بارگذاری، چون نیروی محوری مهاربند فشاری کاهش می‌یابد، لذا نیروی محوری به وجود آمده در مهاربندهای کششی باعث می‌شود در این ستون‌ها نیروی محوری ایجاد گردد و به نیروی محوری ناشی از بارهای ثقلی اضافه شود و چون این ستون‌ها فقط برای بارهای ثقلی طراحی شده‌اند درنتیجه این افزایش نیروی محوری باعث به وجود آمدن مفصل پلاستیک در این ستون‌ها می‌شود.

قاب‌های مهاربندی شده ضربدری ویژه و واقع در دو دهانه میانی مجاور هم. مطابق مقادیر ارائه شده در جدول (۳) ضریب کاهش شکل‌پذیری ۱۶ قاب ساختمانی ساده توأم با مهاربندهای ضربدری ویژه و واقع در دو دهانه میانی، از ۱/۹۷ تا ۴/۷۱ متغیر است. مطابق شکل (۱۰) در صورتی که ارزیابی ضریب کاهش شکل‌پذیری مورد نیاز مطابق ASCE7 منظور باشد  $R_{\text{II}} = 6/2 = 3$  چهار تا از این شانزده قاب مهاربندی شده شکل‌پذیری مورد نیاز را تأمین نکرده اند. البته چون این قاب‌ها براساس  $R_{\text{II}} = 5/5 = 1$  طراحی شده‌اند، ممکن است وضع از این نیز بدتر شود. چنانچه ارزیابی ضریب کاهش شکل‌پذیری مورد نیاز این قاب‌ها مطابق استاندارد ۲۸۰۰ ایران مورد نظر باشد  $R_{\text{II}} = 5.5/2 = 2.75$  دو تا از این قاب‌های مهاربندی شده شکل‌پذیری مورد نیاز را تأمین نکرده اند. بنابراین براساس نتایج به دست آمده از این تحقیق می‌توان نتیجه گرفت که در سیستم‌های سازه‌ای از نوع قاب ساختمانی ساده توأم با مهاربندهای ضربدری ویژه و دارای زمان تناوب محاسباتی بیش از یک ثانیه (حدوداً بالای ده طبقه) که در آن مهاربندها در دو دهانه میانی مجاور هم قرار دارند، شکل‌پذیری مورد انتظار تأمین

۳) مطابق منحنی های ظرفیت تهیه شده برای این گونه قاب های مهاربندی شده، در اکثر موقع رفتار این نوع قاب های مهاربندی شده تغییر مکان هدف را تجربه نمی نمایند و قبل از رسیدن به آن به حالت مکانیزم می رسند. ولی با این وجود به خاطر بالاتر بودن سطح مقاومت آنها شکل پذیری مورد انتظار تأمین نمی شود.

۴) حداکثر ارتفاع مجاز این نوع قاب های مهاربندی شده می تواند از مقدار مورد نظر آئین نامه ASCE7 که حدوداً ۱۰/۷ متر می باشد، بیشتر در نظر گرفته شود.

هم چنین، نتایج به دست آمده از تحلیل، طراحی و تحلیل استاتیکی غیرخطی شانزده قاب ساختمانی ساده توأم با مهاربندهای ضربدری ویژه و واقع در دو دهانه میانی مجاور هم نشان می دهد که:

(۱) با توجه به این که براساس مبحث دهم مقررات ملی ساختمان، در قاب های با مهاربند همگرای ویژه، تیرها و ستون ها باید در برابر تحلیلی که در آن مهاربندها به حداکثر ظرفیت خود می رسند، مورد کنترل قرار گیرند، از این رو در این نوع قاب ها مکانیزم فرو ریختگی اکثرًا از نوع مکانیزم کمانش یا تسليیم کلیه مهاربندها است و در این نوع قاب ها، عموماً مکانیزم زور درس به وجود نمی آید.

(۲) مطابق نتایج این تحقیق، ضربی رفتار پیشنهاد شده در ویرایش چهارم استاندارد ۲۸۰۰ ایران ( $R=5.5$ ) برای قاب های مهاربندی شده ضربدری ویژه منطقی تر از ضربی رفتار پیش بینی شده در آئین نامه ( $R=6$ ) ASCE7 است.

(۳) متأسفانه در این نوع سیستم های سازه ای در قاب های دارای زمان تناوبی محاسباتی بیش از یک ثانیه (حدوداً بالای ده طبقه) شکل پذیری مورد نیاز تأمین نمی شود. براساس نتایج به دست آمده از این تحقیق، برای قاب های دارای زمان تناوب

### ضربدری ویژه هشت طبقه

هم چنین، ضرایب کاهش شکل پذیری به دست آمده برای شانزده قاب ساختمانی ساده توأم با مهاربندهای ضربدری ویژه و واقع در دو دهانه میانی مجاور هم، نشان می دهد که در قاب های بالای ده طبقه افت محسوسی در ضربی رفتار شکل پذیری به وجود می آید و در آنها قاب نمی تواند تغییر مکان هدف را تجربه نموده و مشابه مکانیزم فرو ریختگی نمایش داده شده در شکل (۱۱) قبل از رسیدن حداکثر تغییر مکان غیر استاتیک قاب به تغییر مکان هدف، قاب به حالت مکانیزم می رسد و فرو می ریزد. براساس نتایج این تحقیق برای حل این ضعف در این نوع قاب ها، می توان برای آنها براساس تعداد طبقات و یا براساس زمان تناوب محاسباتی، دو نوع ضربی رفتار پیشنهاد نمود. به طور مثال می توان برای قاب های دارای زمان تناوب محاسباتی بیش از یک ثانیه (حدوداً بالای ۱۰ طبقه) ضربی رفتار را کمتر از  $5/5$  (مثلاً ۵ و یا کوچکتر) در نظر گرفت.

### نتیجه گیری

نتایج به دست آمده از تحلیل، طراحی و تحلیل استاتیکی غیرخطی (تحلیل بارافزون) شانزده قاب ساختمانی ساده توأم با مهاربندهای ضربدری معمولی و واقع در دو دهانه میانی مجاور هم، نشان می دهد که:

- (۱) میزان مصالح مصرفی در این نوع قاب های مهاربندی شده نسبت به قاب های مهاربندی شده ضربدری ویژه به ترتیب برای قاب های از یک تا شانزده طبقه، ۱۵ تا ۲۵ درصد بیشتر است.
- (۲) در این نوع قاب های ساختمانی حتی برای قاب های تا شانزده طبقه ضربی رفتار شکل پذیری از مقدار مورد نظر آئین نامه ASCE7 ( $R_{\mu} \geq 3.25/2 = 1.625$ ) بیشتر است و این گونه قاب های مهاربندی شده از منظر تأمین شکل پذیری مورد نیاز مشکلی ندارند.

بیش از یک ثانیه (حدوداً بالای ۱۰ طبقه)، رفتار سازه عموماً تغییر مکان هدف را تجربه نماید و قبل از رسیدن به آن قاب به حالت مکانیزم می‌رسد و فرو می‌ریزد و این مسئله نشان دهنده لزوم توجه ویژه به این نوع قاب‌ها و لزوم تجدید نظر در ارائه ضریب رفتار قاب‌های دارای زمان تناوب محاسباتی بیش از یک ثانیه از این نوع سیستم‌های سازه‌ای را تأیید می‌نماید.

محاسباتی بیش از یک ثانیه (حدوداً بالای ده طبقه) باید از ضریب رفتار کمتری استفاده شود. به عنوان پیشنهاد می‌توان ضریب رفتار قاب‌های مهاربندی شده با مهاربندهای ویژه و دارای زمان تناوب محاسباتی بیش از یک ثانیه (حدوداً بالای ده طبقه) را برابر ۵ در نظر گرفت.

۴) مطابق منحنی‌های ظرفیت ارائه شده برای این نوع قاب‌ها، در قاب‌های دارای زمان تناوب محاسباتی

## مراجع

1. Asghari, A., "Dynamics of Structures, Basic and Applications to Earthquake Engineering", Volume 1,2, Publisher: Amirkabir University of Technology, Tehran, Iran, (2013).
2. BHRC, "Iranian Code of Practice for seismic Resistant Design of Buildings: Standard No. 2800 (4rd Edition)", Building and Housing Research Center, (2015).
3. Uriz, P., Filippou, F.C. and Mahin, S.A., "Model for cyclic inelastic buckling of steel braces", *J. Struct. Eng.*, No 134(4), pp. 619–628, (2008).
4. Uriz, P. and Mahin, S.A., "Toward earthquake-resistant design of concentrically braced steel-frame structures", PEER-2008/08, Pacific Earthquake Engineering Research Center (PEER), Univ. of California, Berkeley, Berkeley, CA; (2008).
5. Uang, C.M. and Nakashima, M., "Steel buckling-restrained frames", 16, Earthquake engineering: From engineering seismology to performance-based engineering, Y. Bozorgnia and V. V. Bertero, eds, CRC Press, Boca Raton, FL; (2004).
6. Mofid, M., Lotfollahi, M., "On the characteristics of new ductile knee bracing systems", *Journal of Constructional Steel Research*, No 62, pp.271–281, (2006).
7. Balendra, T., Huang, X., "Overstrength and ductility factors for steel frames designed according to BS 5950", *Journal of Structural Engineering*, ASCE 2003; No 129(8), pp. 1019–35, (2003).
8. Kim, J., Choi, H., "Response modification factors of chevron-braced frames", *Engineering Structures*, No. 27, pp. 285–300, (2005).
9. Maher, MR., Akbari R., "Seismic behavior factor,  $R$ , for steel X-braced and knee-braced RC buildings", *Engineering Structures*, No. 25(15), pp.1505–13, (2003).
10. Mahmoudi, M., Zaree, M., "Evaluating response modification factors of concentrically braced steel

- frames", *Journal of Constructional Steel Research*; No. 66, pp. 1196-1204, (2010).
11. Asgarian, B., Shokrgozar, HR., "BRBF response modification factor", *Journal of Constructional Steel Research*; No. 65(2), pp. 290-8, (2009).
  12. MHUD, "Iranian National Building Code, Part 10, Steel Structure Design", Tehran (Iran): Ministry of Housing and Urban Development; (2013).
  13. American Institute of steel construction (AISC341), "Seismic Provisions for Structural Steel Buildings", (2010).
  14. American Society of Civil Engineers (ASCE7), "Minimum Design Loads for Buildings and Other Structures", pp.7, (2010).
  15. ETABS, "Integrated building design software", version 9.7.3, Berkeley; (California), USA: Inc., (1995).
  16. American Institute of steel construction, "Specification for structural steel buildings", (2010).
  17. Federal Emergency Management Agency (FEMA), "Prestandard and Commentary for the Seismic Rehabilitation of Buildings", (FEMA 356), Washington, DC, (2000).
  18. Balendra, T. and Huang, X., "Overstrength and Ductility Factors for Steel Frames Designed According to BS 5950", *Journal of Structural Engineering*, ASCE, Vol. 129, No. 8, (2003).
  19. Newmark, N.M. and Hall, W.J., "Seismic Design Criteria for Nuclear Reactor Facilities", Rep. No. 46, Building Practices for Disaster Mitigation, National Bureau of Standards, U.S. Department of Commerce, (1973).
  20. Newmark, N.M. and Hall, W.J., "EERI Monograph Series", Earthquake Spectra and Design, Earthquake Engineering Research Institute, Oakland, California, (1982).
  21. Lai, S.P. and Biggs, J.M., "Inelastic Response Spectra for Seismic Building Design", *Journal of Structural Engineering*, ASCE, Vol. 106, No. ST6, (1980).
  22. Miranda, E., "Site-Dependent Strength Reduction Factors", *Journal of Structural Engineering*, ASCE, Vol. 119, No. 12, (1993).
  23. Miranda, E. and Bertero, V.V., "Evaluation of Strength Reduction Factors for Earthquake-Resistant Design", *Earthquake Spectra*, Vol. 10, No. 2, (1994).